

## 屠宰废水污染因素分析

苗利(河南省商丘市环境保护公司 476000)

**摘要** 实地调查了屠宰废水的污染物产出情况，进行了水量平衡分析，对主要污染源和污染物含量进行了实测，结果表明：废水产生量为 $0.6\text{m}^3/\text{头}$ ，混合废水主要污染物 CODcr、BOD<sub>5</sub>、SS、氨氮含量分别为 948 mg/L、476mg/L、611mg/L、170mg/L。建议屠宰废水经前处理后，采用 UBF—SBR 工艺进行处理，可以取得满意的效果。

**关键词** 屠宰废水 污染因素分析 厌氧复合床 序批式活性污泥法

屠宰废水成分复杂，污染物含量高，水质和水量周期变化较大，因此，搞清其变化特征及水质、水量状况，对于治理污染、搞好环境管理具有重要意义。

## 1 生产工艺及污染物产出分析

某集团公司屠宰车间生产规模为日宰杀生猪2 000头。为了摸清污染物产出情况，进行了连续3d的实测，监测期间实际宰杀量为1 150头/d。其生产工艺及污染物产出情况见图1。

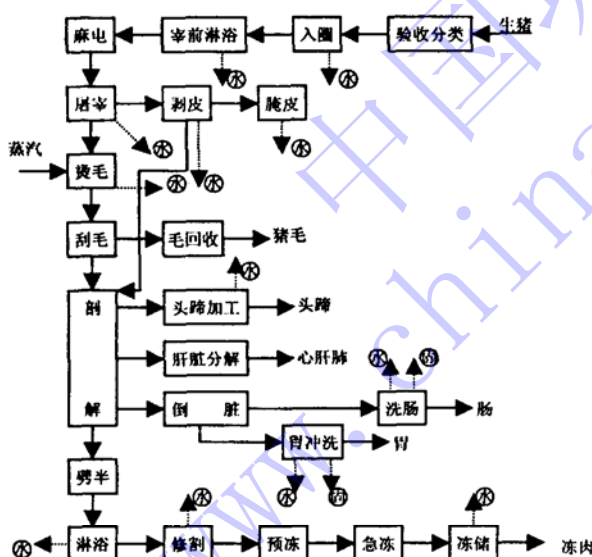


图 1 生猪屠宰生产工艺及污浊产出图

注：图中④为废水；⑤为固定废物。

## 2 水量平衡及水污染源分析

## 2.1 水量平衡

详见图2。

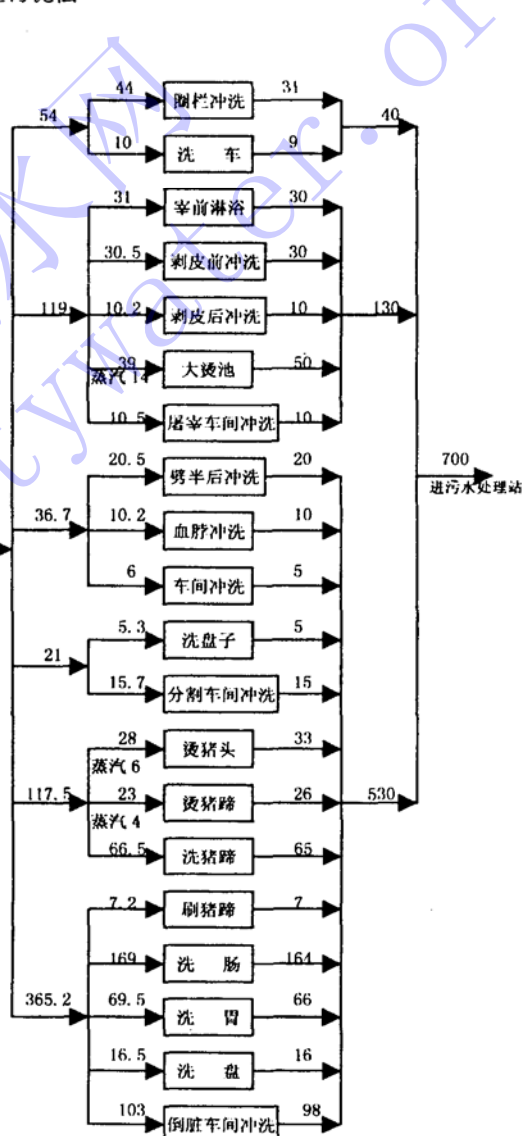


图 2 水量平衡图 (单位:  $m^3/d$ )



## 2.2 主要污染源分析

根据图 2, 水量占 70%左右的主要污染源见表 1。

表 1 主要污染源

位次	排水点名称	排水量/ $m^3 \cdot d^{-1}$	占总水量/%
1	洗肠	164	23.4
2	倒脏车间冲洗	98	14.0
3	洗胃	66	9.4
4	洗猪蹄	65	9.3
5	大烫头	50	7.1
6	烫猪池	33	4.7
7	圈栏冲洗	31	4.4

## 3 外排废水污染物含量

为了调查外排废水污染物含量, 对圈栏、车辆冲刷水, 屠宰车间废水, 倒脏车间废水以及混合废水进行了实测, 结果见表 2。

(1) 圈栏废水: 主要是猪圈的冲刷废水, 含有猪粪便、尿液、呕吐物等, 由于排水渠较长, 固

体污染物迅速沉积, 污染物含量相对较低。(2) 宰杀废水: 主要是大烫池废水及猪酮体冲洗水, 主要含有血污、猪毛等, 水呈红褐色。(3) 倒脏废水: 主要是内脏及头蹄冲洗水, 含有大量的猪粪便、内脏杂物、未消化食物及碎肉、油脂等。这部分废水排放量较大, 污染物含量高, 是主要污染源。

表 2 外排废水实测结果(平均值)  $m^3/d$

工段名称	CODcr	BOD <sub>5</sub>	SS	氨氮
圈栏废水	318	163.5	254	138.9
宰杀废水	448	172.4	243	89.8
倒脏废水	1345	773.1	1405	244.0
混合废水	948	475.9	611	170.3

## 4 屠宰废水处理优化工艺

目前, 屠宰废水处理方法很多, 大多采用好氧和厌氧—好氧联合处理工艺<sup>[1,2]</sup>, 效果都很好。但考虑到投资、运行费用、占地面积及操作的难易程度等综合因素, 建议屠宰废水经前处理后采用 UBF-SBR 工艺进行处理。工艺流程见图 3。

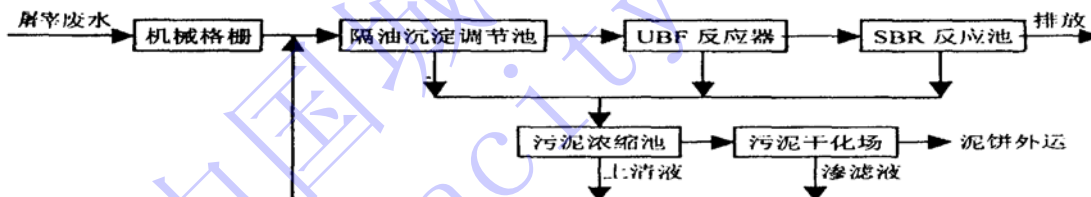


图 3 屠宰废水处理优化工艺流程图

### 4.1 前处理

倒脏车间排水口应设置初级沉淀池, 去除大颗粒固体物。宰杀车间设置粗格栅, 去除猪毛等, 以减轻后续处理工段的压力。

混合废水采用机械格栅和隔油沉淀调节池作为前处理工段, 这样, 可提高处理效果, 减轻工人的劳动强度, 使系统运行更加稳定。

由于屠宰废水排放时间比较集中, 设计调节池水力停留时间应>12h。

### 4.2 UBF 反应器

虽经隔油预处理, 但废水中仍含有一定量的油脂, 如直接采用好氧处理, 存在反应器表面产生大量油性泡沫, 使活性污泥松散, 污泥指数较高, 故应进一步去除废水中的油脂及降低有机物含量。如

果采用气浮工艺去除, 运行费用较高; 所以, 采用厌氧工艺是理想的去除方法。

厌氧工艺采用上部设有填料层的厌氧复合床(UBF)反应器, 对微生物有良好的附着作用, 可以形成高活性的生物膜, 脱落的膜碎片提供了颗粒污泥的次级生长核心<sup>[3]</sup>, 加速了颗粒污泥的成长。因此, 该工艺具有污染物去除率高, 启动速度快, 耐冲击负荷, 运行费用低等特点。

UBF 反应器设计容积负荷应取  $5\text{kg CODcr}/(\text{m}^3 \cdot \text{d})$  左右。

### 4.3 SBR 反应池

SBR 反应池设计周期为 8h, 双池或多池布置, 交替运行, 进水、曝气各 4h (其中边进水边曝气 2h), 沉淀排水 2h。污泥浓度控制在  $3\sim 500\text{mg/L}$  以下, 罗茨鼓风机供气, 均能取得良好的效果。



# 商品猪宰后白肌病的初步调查

洪文展(深圳市肉品卫生检查所 518028)

白肌病是多种动物都能发生的一种营养代谢性疾病，其特征是骨骼肌和心肌发生变性和凝固性坏死或蜡样坏死，同时伴有间质结缔组织的增生。其后果是直接造成肉畜产品的浪费和经济价值的损失。在肉联厂工作期间，对商品猪宰后白肌病作了一个初步调查。

## 1 商品猪的来源

深圳市肉联厂所屠宰的生猪，主要来自湖南省的衡阳、浏阳、长沙、望城、攸县、茶陵；湖北省的松滋；河南省的太康、商水、邓州；江西省的兴国、安远、萍乡等地。绝大部分为当地的土种猪，平均体重80kg。

## 2 调查方法

采用肉眼观察确定。将病变明显的半腱肌或半膜肌肉样，用10%的甲醛液浸泡固定，石蜡包埋病理切片，苏木素——伊红染色镜检。

## 3 结果

### 3.1 病变部位

主要为心肌和前后肢肌肉，尤其是一些负载重量大和活动性强的肌肉，常呈两侧对称性发生。前肢的岗上肌、岗下肌、肩胛下肌、臂二、三头肌；后肢的半腿肌、半膜肌、股二、四头肌和腰肌；头颈部的咬肌、舌肌和膈肌病变经常且明显。

### 3.2 横纹肌病变强度

1995年共检出209头白肌病病猪，发现后肢

采用该优化工艺处理屠宰废水，运行费用为0.25~0.35元/t，并且产生的沼气可以作为能源加以利用。

## 参 考 文 献

- 1 郑春媛.屠宰废水的治理.中国给水排水, 2000, 16(4): 33

肌肉出现病变的为205头，占检出病猪的98%；前肢肌肉为111头，占53%；腰肌为99头，占47%；头颈部肌肉为80头，占38%。其病变强度排列呈后肢肌肉>前肢肌肉>腰肌>头颈部肌肉。

### 3.3 病理感官观察

右心扩张，心包液增多，于心内外膜下、室中隔、乳头肌、瓣膜口附近，以及心房的梳状肌，呈现灰黄色或灰白色斑点状或条纹状病灶。心肌切面也有相同的病变；骨骼肌的病变，主要表现为肌肉色泽变淡、肿胀、浑浊。可清楚地见到黄白色或灰白色斑点状或条纹状病灶，有时整个肌群全部形成黄白色条纹状病变。

### 3.4 病理切片观察

从感官检验可初步判定商品猪的白肌病，但为了鉴别的准确性，可采样送实验室检查。白肌病镜检可见：大片肌纤维发生颗粒变性和蜡样坏死，变性的肌纤维肿胀，胞浆淡染，肌纤维间分界不清楚；完全坏死的肌纤维，凝固的肌浆浓缩，浓染伊红。肌间成纤维细胞增生，病变严重的部位，肌纤维几乎完全被增生的成纤维细胞所取代。

### 3.5 检出率及造成的损失

1993年至1996年6月，3年半时间共检出自肌病病猪544头，每年的检出率呈几何级数上升（见表1）。

无法统计病变轻微者修割病变组织所造成的损失，按销毁的274头病猪计算，以平均每头80kg，

- 2 林伟华, 寿亦丰. AF-SBR法处理屠宰废水工程实例. 环境工程, 2000年增刊: 23~24
- 3 唐受印, 戴友芝, 刘忠义等编. 食品工业废水处理. 化学工业出版社, 2001.

(收稿日期 2002-10-21)